



СОЮЗ СОВЕТСКИХ
СОЦИАЛИСТИЧЕСКИХ
РЕСПУБЛИК

(19) SU (II) 1679298 A1

ГОСУДАРСТВЕННЫЙ КОМИТЕТ
ПО ИЗОБРЕТЕНИЯМ И ОТКРЫТИЯМ
ПРИ ГКНТ СССР

(51)5 G 01 N 21/23

ОПИСАНИЕ ИЗОБРЕТЕНИЯ

К АВТОРСКОМУ СВИДЕТЕЛЬСТВУ

1

- (21) 4671518/25
(22) 30.01.89
(46) 23.09.91. Бюл. № 35
(71) Минский радиотехнический институт
(72) В.П.Бурцева, В.М.Варикаш и В.С.Меркулов
(53) 535.8 (088.8)
(56) Sawada A. et al. – J.Phys. Soc. Jap. 1975, v. 38, № 5, p. 1408–1414.

Иванов И.Р., Анисимова В.Н., Шувалов Л.А. Двупреломление и сегнетоэлектрические свойства смешанных кристаллов $[Rb_0.4(NH_4)_0.6]_2SO_4$. Физика твердого тела, т. 25, вып. 2, с. 525–534.

(54) СПОСОБ ОПРЕДЕЛЕНИЯ ТРИКРИТИЧЕСКОЙ ТОЧКИ
(57) Изобретение относится к исследованию сегнетоэлектрических материалов с помощью оптического метода и может быть использовано для определения трикритиче-

2

ской точки при атмосферном давлении в результате частичного замещения собственных ионов кристаллами ионами примеси, что открывает возможность создавать сегнетоэлектрические вещества с заранее заданными свойствами. Цель изобретения – упрощение и повышение точности определения трикритической точки. Указанная цель достигается тем, что для определения трикритической точки достаточным и необходимым являются температурные исследования двупреломления для различных концентраций вдоль трех кристаллографических направлений, а при расчете параметра, характеризующего степень удаленности от трикритической точки, исходят из непропорциональности между спонтанным двупреломлением и квадратом спонтанной поляризации на основании двухподрешеточной модели Дворжака-Ишибashi. 5 ил., 1 табл.

(19) SU (II) 1679298 A1

Изобретение относится к исследованию сегнетоэлектрических материалов с помощью оптических методов.

Целью изобретения является упрощение и повышение точности определения трикритической точки.

Физическая сущность способа заключается в следующем. Термодинамический потенциал согласно двухподрешеточной модели записывается в виде

$$\Phi = \frac{\alpha_1}{2} P_1^2 + \frac{\beta_1}{4} P_1^4 + \frac{\delta_1}{6} P_1^6 + \frac{\alpha_2}{2} P_2^2 + \gamma_1 P_1 P_2 + \gamma_2 P_1^3 P_2. \quad (1)$$

где $\alpha_1, \alpha_2, \beta_1, \gamma_1, \gamma_2, \delta_1$ – коэффициенты термодинамического потенциала;

P_1, P_2 – поляризация соответственно первой и второй подрешеток.

Так как решетки неэквивалентны $\alpha_1 \neq \alpha_2$, при этом за фазовый переход ответственна только первая подрешетка, $\alpha_1 = a_1(T - T_0)$, где T – температура Кюри-Вейсса, α_2 – не зависит от температуры в паразелектрической фазе. Для фазового перехода второго рода $\beta \geq 0, \delta = 0, \alpha_1 = a_1(T - T_0)$.

Минимизируя (1) по P_2 , получают связь P_1 и P_2

$$P_2 = \gamma' P_1 + \gamma'' P_1^3, \quad (2)$$

где $\gamma' = -\gamma_2/\gamma_1$;

$$\gamma'' = -\gamma_1/\gamma_2.$$

Подставляя (2) в (1) и минимизируя полученное выражение по P_1 , получают выражение для P_1

$$P_1 = \frac{\beta}{2\delta} \left[\left(\sqrt{1 - \frac{4\delta\alpha}{\beta^2}} - 1 \right) \right]^{1/2} \quad (3)$$

Тогда для суммарной поляризации P , равной $P_1 + P_2$, имеют

$$P = (1 + \gamma^I) P_1 + \gamma^{II} P_1^3 \quad (4)$$

$$\rho^2 = \tilde{\gamma}^I P_1^2 + \tilde{\gamma}^I P_1^4 + \tilde{\gamma}^I P_6, \quad (5)$$

где $\gamma^I = (1 + \gamma^I)^2$,

$$\gamma^I = 2(1 + \gamma^I) \gamma^{II};$$

$$\gamma^I = (\gamma^I)^2.$$

Спонтанное двулучепреломление механически свободного кристалла в первом приближении ограничивают квадратичной зависимостью от поляризаций подрешеток

$$\Delta ns = R_1 P_1^2 + R_2 P_2^2 + R_3 P_1 P_2 + \dots \quad (6)$$

где в коэффициентах R_1, R_2, R_3 учтены добавки, связанные с упругооптическим эффектом (для простоты обозначений опущен индекс, характеризующий срез кристалла). Третье слагаемое, связывающее две подрешетки в известном, опускают, что недостаточно корректно и является одной из причин низкой точности определения трикритической точки.

Однако при подстановке (2) в (6) появляются члены четвертой и шестой степеней по P_1 . Это указывает на то, что для двухподрешеточных сегнетоэлектриков нельзя ограничиваться только второй степенью P в разложении (6). Ввиду наличия двух подрешеток членами, пропорциональными четвертой степени поляризации, являются $P_1^4, P_2^4, P_1^2 P_2^2, P_1^3 P_2, P_1 P_2^3$.

В результате получают выражение для $\Delta ns(T)$ с точностью до четвертой степени P_1

$$\Delta ns(P) = \tilde{R} P_1^2 + \tilde{R} P_1^4, \quad (7)$$

где \tilde{R} и \tilde{R} – новые константы.

Из сравнения (5) и (7) видно, что в двухподрешеточной модели в общем случае не может быть пропорциональности между $\Delta ns(T)$ и $P^2(T)$.

С целью обработки полученных результатов на ЭВМ с функцией (7) проводят ряд преобразований, в результате которых спонтанное двулучепреломление записывается в виде

$$D = a^I f^I + c^I (f^I)^2,$$

$$\text{где } P^2 = f^I = -b^I + \sqrt{(t + \frac{5b^I + 31b^I}{8})},$$

$$a^I = \tilde{R} \sqrt{\frac{a^I}{\delta}};$$

$$b^I = \frac{\beta}{2\sqrt{\delta a^I}};$$

$$c^I = R \frac{a^I}{\delta};$$

$$t = (T_c - T);$$

T_c – температура фазового перехода.

Для определения знака и величины параметра b^I , связанного с коэффициентом термодинамического потенциала β используют критерий наименьших квадратов и минимизацию функции φ вида $\varphi = \sum_{i=1}^n (D_{ei} - D_{ti})^2 \rightarrow 0$, где $D_{ei} = \Delta ns(T)$; D_{ti} – экспериментальные и теоретические значения спонтанного двулучепреломления соответственно методом прямого поиска Хуку и Дживсу.

Параметр b^I , при котором минимизация функции φ окончена, и есть искомая величина, имея рассчитанные значения параметра и концентрации примесей для трех кристаллографических направлений строят графики зависимости b^I от X . Точки пересечения графика b^I с осью X определяют трикритический переход. В качестве X выбирают среднее из трех X .

Использование дополнительных измерений температурных зависимостей двулучепреломления в двух других кристаллографических направлениях и расчет параметра b^I , характеризующего степень удаленности от трикритической точки на основании двухподрешеточной модели Дворжака-Ишибаши, исходя из непропорциональности между спонтанным двулучепреломлением и квадратом спонтанной поляризации, позволяет повысить точность определения трикритической точки.

На фиг. 1 представлены температурные зависимости изменения двулучепреломления кристалла $[(\text{NH}_4)_0.94 \text{K}_{0.06}]_2 \text{SO}_4$ в а (1), б (2) и с (3) срезах относительно их значений при комнатной температуре.

На фиг. 2 представлены температурные зависимости спонтанного двулучепреломления кристалла $[(\text{NH}_4)_0.94 \text{K}_{0.06}]_2 \text{SO}_4$ в а (1), б (2) и с (3) срезах, на фиг. 3 – температурная зависимость спонтанной поляризации кристалла $[(\text{NH}_4)_0.94 \text{K}_{0.06}]_2 \text{SO}_4$ вдоль направления, измеренная с помощью пироэлектрического заряда.

На фиг. 4 представлены экспериментальные Δns и рассчитанные теоретически D_t зависимости спонтанного двулучепреломления от разности температур ($T_c - T$) кристалла $[(\text{NH}_4)_0.94 \text{K}_{0.06}]_2 \text{SO}_4$ в а (1), б (2) и с (3) срезах (точки, рассчитанные теоретически, обозначены символом \circ).

На фиг. 5 представлены зависимости параметра b^I от концентрации ионов калия

в кристаллах $[(\text{NH}_4)_{1-x} \text{K}_x]_2 \text{SO}_4$ вдоль а(2), б(1) и с(3) кристаллографических осей.

При изменении двулучепреломления кристаллов $[(\text{NH}_4)_{1-x} \text{K}_x]_2 \text{SO}_4$ используют известную формулу $\Delta n = \Gamma / d$, где Γ – разность хода двух волн; d – толщина кристалла, которая измеряется микрометром. Измерение разности хода проводят компенсатором Сенармона. Источником излучения с длиной волны 0,63 мкм служил Не–Не–лазер. Образцы представляют собой плоскопараллельные пластины, перпендикулярные кристаллографическим осям а, б, с, или призмы, ребра которых также перпендикулярны осям а, б, с.

Предварительную ориентировку образцов определяют естественными гранями. Точная ориентировка производится на рентгеновском дифрактометре ДРОН-1,0 в СИ $\text{K}\alpha$ излучении. Образцы изготавливают с содержанием ионов K^+ 0,021–0,33.

На фиг. 1 приведены температурные зависимости двупреломления Δn_a , Δn_b , Δn_c относительно их значений при комнатной температуре для кристалла $[(\text{NH}_4)_{0,94} \text{K}_{0,06}]_2 \text{SO}_4$.

Экстраполяция температурных зависимостей Δn_a , Δn_b , Δn_c в область температур ниже T_c так, как показано на фиг. 1 штриховой линией, позволяет выделить спонтанный вклад в двулучепреломление, связанный с сегнетоэлектрическим упорядочением. На фиг. 2 приведены температурные зависимости спонтанного двулучепреломления $\Delta n_s(T)$ для этого же кристалла, главной особенностью которых является их непропорциональность температурным зависимостям квадрата спонтанной поляризации $P^2(T)$, что доказывает необходимость учета в разложении $\Delta n_s(P)$ по поляризациям (подрешеток и полной) членов степени выше второй.

Аналогично получены температурные зависимости спонтанного двулучепреломления $\Delta n_s(T)$ для кристаллов типа $[(\text{NH}_4)_{1-x} \text{K}_x]_2 \text{SO}_4$ с $X = 0; 0,021; 0,06; 0,1$ вдоль трех кристаллографических направлений а, б, с.

С помощью ЭВМ методом наименьших квадратов с использованием минимизации функций прямым поиском по Хуку и Джексу найдены параметры b^1 для указанных кристаллов.

Полученные результаты сведены в таблицу.

При этом отличное совпадение теоретических кривых $\Delta t(T)$ с экспериментальными $\Delta n_s(T)$ для всех концентраций К. На фиг. 4 представлены экспериментальные и расчетные теоретически кривые $\Delta t(T)$ зависи-

симости спонтанного двулучепреломления от разности температур ($T_0 - T_c$) кристалла $[(\text{NH}_4)_{0,94} \text{K}_{0,06}]_2 \text{SO}_4$ для трех срезов а, б, с. Для других концентраций калия аналогичные графики опущены.

На основании данных таблицы строят графики зависимости b^1 от концентрации ионов K^+ для а, б, с срезов (фиг. 5). Определяют для каждой кривой Х, при которой $b^1 = 0$, а в качестве искомой выбирают среднее из трех значений Х. Концентрация ионов K^+ , соответствующая трикритическому переходу в кристалле $[(\text{NH}_4)_{1-x} \text{K}_x]_2 \text{SO}_4$, составляет $X = 0,0118 \pm 0,003$.

15 Технико-экономические преимущества предлагаемого способа заключаются в том, что способ определения трикритической точки по экспериментальным результатам двулучепреломления позволяет исключить громоздкий и трудоемкий эксперимент, т.е. упрощает его.

Использование дополнительных измерений температурных зависимостей двулучепреломления в двух других кристаллографических направлениях и в расчет параметра К, характеризующего степень удаленности от трикритической точки, исходя из непропорциональности между спонтанным двулучепреломлением и квадратом спонтанной поляризации на основе двухподрешеточной модели Дворжака–Ишибаши, позволяет повысить точность определения трикритической точки.

Ф о р м у л а из о б р е т е н и я

Способ определения трикритической точки, основанный на определении концентрации примеси в испытуемом образце сегнетоэлектрического материала, заключающийся в том, что для различных концентраций примеси измеряют температурные зависимости двулучепреломления $\Delta n^1(T)$ в одном из трех кристаллографических направлений, выделяют спонтанный вклад в двулучепреломление $\Delta n^1_s(T)$ из $\Delta n^1(T)$ для каждой концентрации примеси, определяют для каждой концентрации примеси параметр К, характеризующий количественно степень удаленности от трикритической точки, строят график зависимости параметра К от концентрации примеси, а концентрацию, по которой судят о наступлении трикритической точки, определяют при $K = 0$, о т л и ч а ю щ и й с я тем, что, с целью упрощения и повышения точности, дополнительно измеряют температурные зависимости $\Delta n^{2,3}(T)$ в двух кристаллографических направлениях, выделяют спонтанный вклад в двулучепреломление $\Delta n^{2,3}_s(T)$ из $\Delta n^{2,3}(T)$ для этих

направлений, строят графики зависимостей $\Delta n^{1,2,3} s(T)$ для трех кристаллографических направлений, и аппроксимируют графики зависимости $\Delta n^{1,2,3} s(T)$, исходя из двухподрешеточной модели Дворжака-Ишибаши, многочленом

$$D = a^1 f^1 + c^1 (f^1)^2,$$

где $f^1 = -b^1 + \sqrt{\left(t + \frac{5b^1 + 31b^1}{8}\right) \cdot b^1}$

$$; a^1 = R \frac{\sqrt{ab}}{d};$$

$$b^1 = \frac{\beta}{2\sqrt{ab_1}};$$

$$c^1 = R \frac{a^1}{d};$$

$$t = T_c - T;$$

$$a_1 = \frac{a_1}{T_c - T}$$

T – температура Кюри-Вейсса;

T_c – температура фазового перехода;

$$\alpha = \alpha_1 - \frac{\gamma_1}{\alpha_2};$$

$$\beta = \beta_1 - \frac{4\gamma_1\gamma_2}{\alpha_2};$$

$$\delta = \delta_1 - \frac{3\gamma_2}{\alpha_2},$$

где $\alpha_1, \beta_1, \delta_1, \gamma_1, \alpha_2$ – константы термодинамического потенциала в двухподрешеточной модели Дворжака-Ишибаши;

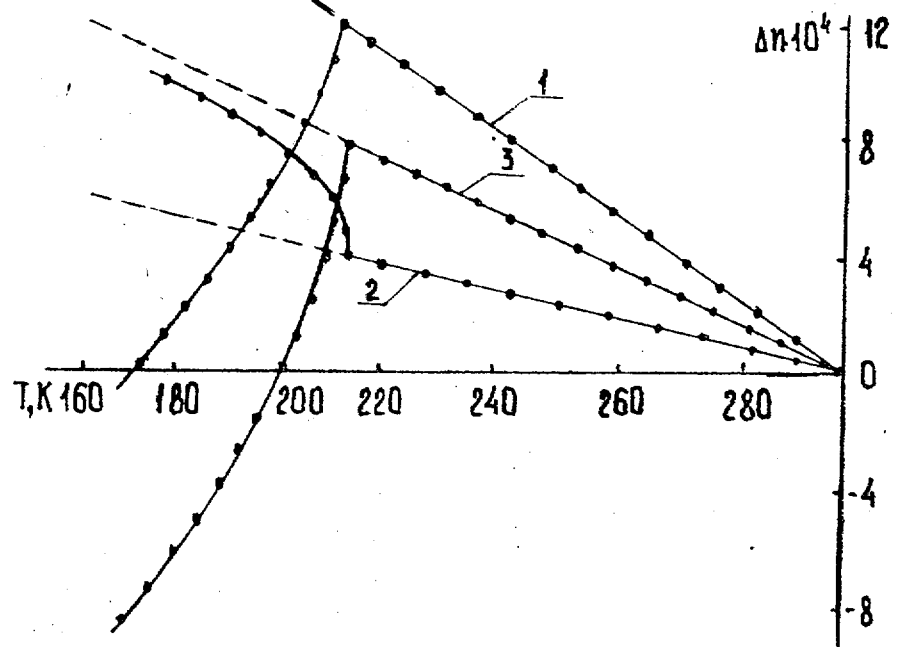
15 R, R – коэффициенты в разложении спонтанного двулучепреломления по поляризациям подрешеток, в которых учтены добавки, связанные с упругооптическим эффектом, причем в качестве параметра K принимают величины b^1 , определяют для каждой концентрации примеси параметр K для двух других кристаллографических направлений, строят графики зависимости K от концентраций примесей для двух других кристаллографических направлений, определяют концентрации, при которых $K=0$ для двух других кристаллографических направлений, а в качестве концентрации, характеризующей трикритическую точку, выбирают среднее из трех значений концентраций примесей.

20

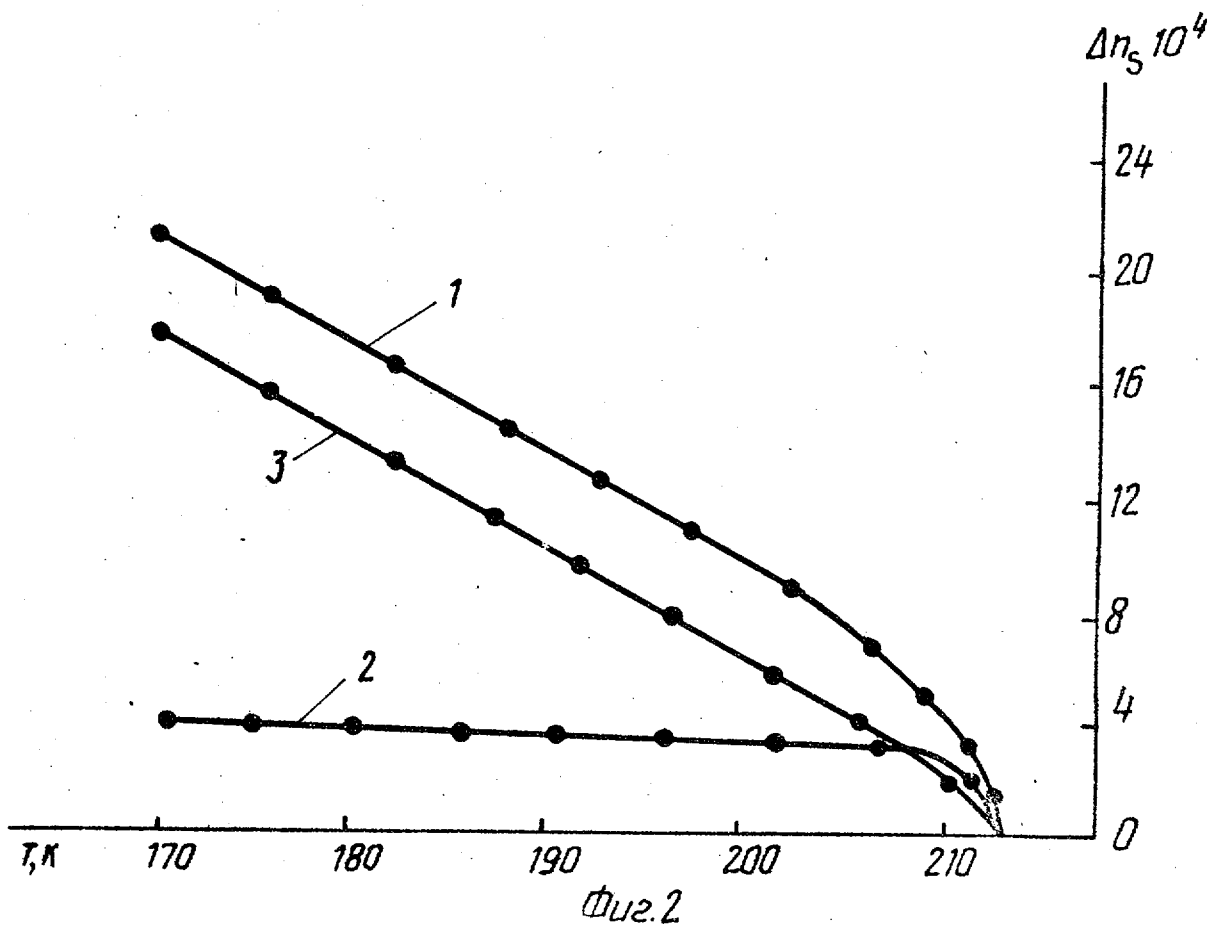
25

Кристалл	b_b^1	b_b^1	b_c^1
$(NH_4)_2SO_4$	$-1,42 \pm 0,1$	$-6,8 \pm 0,3$	$-1,8 \pm 0,1$
$[(NH_4)_{1-x}K_x]_2SO_4 \quad X = 0,021$	$+0,47$	$-0,089$	$\pm 0,5$
То же $X = 0,04$	$17,9$	$0,9$	3
–"– $X = 0,06$	29	$1,49$	$4,2$
–"– $X = 0,1$	$37 \pm 1,9$	$25,87 \pm 0,4$	$30,8 \pm 2,7$

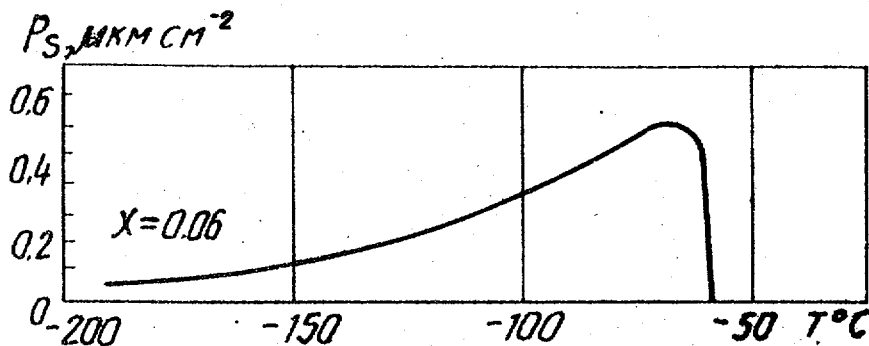
1679298



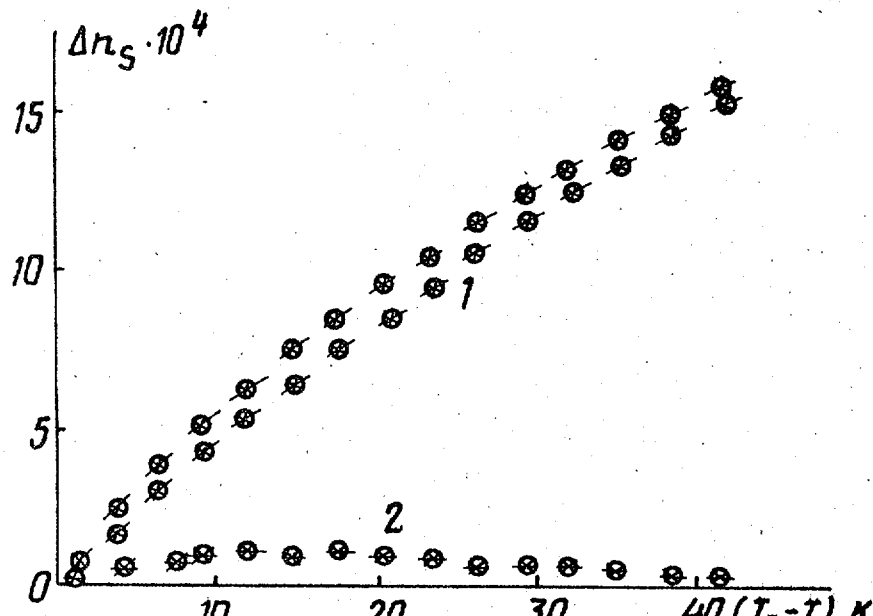
Фиг.1



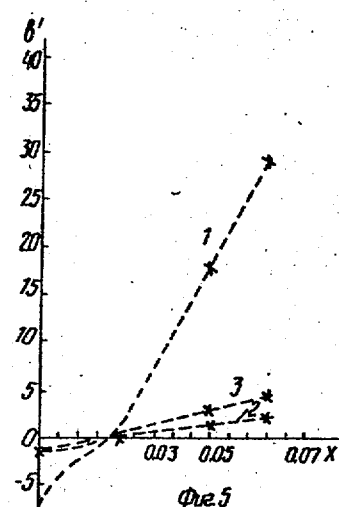
Фиг.2



Фиг.3



Фиг.4



Составитель Ж.Прокофьев

Редактор И.Шулла

Техред М.Моргентал

Корректор Т.Малец

Заказ 3206

Тираж

Подписьное

ВНИИПИ Государственного комитета по изобретениям и открытиям при ГКНТ СССР
113035, Москва, Ж-35, Раушская наб., 4/5

Производственно-издательский комбинат "Патент", г. Ужгород, ул.Гагарина, 101